

# Partitions aléatoires choisies suivant les poids des traces de Markov des algèbres d'Hecke

Pierre-Loïc Méliot

IGM-LabInfo  
Université Paris-Est Marne-La-Vallée

1<sup>er</sup> mars 2011

Soit  $A$  une algèbre semi-simple complexe de dimension finie, et  $\widehat{A}$  l'ensemble des classes d'isomorphisme de  $A$ -modules irréductibles. Si  $V^\lambda \in \widehat{A}$ , on notera  $\zeta^\lambda$  le caractère correspondant, et  $\chi^\lambda$  le caractère normalisé par la dimension  $\dim V^\lambda$ .

Soit  $A$  une algèbre semi-simple complexe de dimension finie, et  $\widehat{A}$  l'ensemble des classes d'isomorphisme de  $A$ -modules irréductibles. Si  $V^\lambda \in \widehat{A}$ , on notera  $\zeta^\lambda$  le caractère correspondant, et  $\chi^\lambda$  le caractère normalisé par la dimension  $\dim V^\lambda$ .

Les  $\chi^\lambda$  sont des **traces** normalisées, c'est-à-dire des formes linéaires  $\tau : A \rightarrow \mathbb{C}$  vérifiant :

$$\tau(1_A) = 1 \quad ; \quad \forall a, b \in A, \tau(ab) = \tau(ba).$$

Toute trace sur  $A$  se décompose de façon unique comme combinaison linéaire de caractères irréductibles.

Soit  $A$  une algèbre semi-simple complexe de dimension finie, et  $\widehat{A}$  l'ensemble des classes d'isomorphisme de  $A$ -modules irréductibles. Si  $V^\lambda \in \widehat{A}$ , on notera  $\zeta^\lambda$  le caractère correspondant, et  $\chi^\lambda$  le caractère normalisé par la dimension  $\dim V^\lambda$ .

Les  $\chi^\lambda$  sont des **traces** normalisées, c'est-à-dire des formes linéaires  $\tau : A \rightarrow \mathbb{C}$  vérifiant :

$$\tau(1_A) = 1 \quad ; \quad \forall a, b \in A, \tau(ab) = \tau(ba).$$

Toute trace sur  $A$  se décompose de façon unique comme combinaison linéaire de caractères irréductibles.

### Définition (Mesure spectrale)

On appelle **mesure spectrale** d'une trace  $\tau$  la mesure de probabilité sur  $\widehat{A}$  définie par l'identité

$$\tau = \sum_{\lambda \in \widehat{A}} \mathbb{P}_\tau[\lambda] \chi^\lambda.$$

Considérons par exemple un groupe fini  $G$  et un  $G$ -module  $V$ . On peut écrire

$$V = \bigoplus_{\lambda \in \widehat{G}} m_\lambda V^\lambda, \quad m_\lambda \in \mathbb{N}.$$

Alors, la mesure spectrale du caractère  $\chi^V$  s'écrit  $\mathbb{P}_V[\lambda] = \frac{m_\lambda \dim V^\lambda}{\dim V}$ .

Considérons par exemple un groupe fini  $G$  et un  $G$ -module  $V$ . On peut écrire

$$V = \bigoplus_{\lambda \in \widehat{G}} m_\lambda V^\lambda, \quad m_\lambda \in \mathbb{N}.$$

Alors, la mesure spectrale du caractère  $\chi^V$  s'écrit  $\mathbb{P}_V[\lambda] = \frac{m_\lambda \dim V^\lambda}{\dim V}$ .

On considère maintenant une famille d'algèbres  $(A_n)_{n \in \mathbb{N}}$ , et une famille de traces  $(\tau_n)_{n \in \mathbb{N}}$  ; on note  $(\mathbb{P}_n)_{n \in \mathbb{N}}$  la famille des mesures de probabilité correspondantes.

## Questions

- 1 Peut-on énoncer des résultats probabilistes asymptotiques pour les mesures spectrales  $\mathbb{P}_n$  ? (loi des grands nombres, théorème central limite, *etc.*)
- 2 Peut-on donner une interprétation combinatoire des mesures  $\mathbb{P}_n$  ?

Le premier cas étudié fut celui des traces régulières des groupes symétriques  $\mathfrak{S}_n$  ; dans ce cas, la mesure  $\mathbb{P}_n$ , appelée **mesure de Plancherel**, porte sur l'ensemble  $\mathfrak{P}_n$  des partitions d'entiers de taille  $n$ , et s'écrit

$$\mathbb{P}_n[\lambda = (\lambda_1 \geq \dots \geq \lambda_r)] = \frac{(\dim \lambda)^2}{n!}.$$

Le premier cas étudié fut celui des traces régulières des groupes symétriques  $\mathfrak{S}_n$  ; dans ce cas, la mesure  $\mathbb{P}_n$ , appelée **mesure de Plancherel**, porte sur l'ensemble  $\mathfrak{P}_n$  des partitions d'entiers de taille  $n$ , et s'écrit

$$\mathbb{P}_n[\lambda = (\lambda_1 \geq \dots \geq \lambda_r)] = \frac{(\dim \lambda)^2}{n!}.$$

1977 : loi des grands nombres (Logan-Shepp, Kerov-Vershik).

1993 : théorème central limite (Kerov, Ivanov-Olshanski, Śniady).

2000 : lien avec les matrices aléatoires (Baik-Deift-Johansson, Okounkov).



Le premier cas étudié fut celui des traces régulières des groupes symétriques  $\mathfrak{S}_n$  ; dans ce cas, la mesure  $\mathbb{P}_n$ , appelée **mesure de Plancherel**, porte sur l'ensemble  $\mathfrak{P}_n$  des partitions d'entiers de taille  $n$ , et s'écrit

$$\mathbb{P}_n[\lambda = (\lambda_1 \geq \dots \geq \lambda_r)] = \frac{(\dim \lambda)^2}{n!}.$$

1977 : loi des grands nombres (Logan-Shepp, Kerov-Vershik).

1993 : théorème central limite (Kerov, Ivanov-Olshanski, Śniady).

2000 : lien avec les matrices aléatoires (Baik-Deift-Johansson, Okounkov).

On se propose d'étudier des  $(q, t)$ -déformations de ce premier modèle :

- $q$  : passage de  $\mathfrak{S}_n$  à son **algèbre d'Hecke**  $\mathcal{H}_q(\mathfrak{S}_n)$  ;
- $t$  : passage de la trace régulière à une classe de traces plus générales, les **traces de Markov**.

- 1  $(q, t)$ -mesures de Plancherel
  - Traces de Markov des algèbres d'Hecke
  - $q$ -formule de Frobenius et poids des caractères
  - $(q, t)$ -déformation de la mesure de Plancherel
  
- 2 Lien avec les permutations aléatoires
  - Descentes d'un tableau standard ou d'une permutation
  - Fonctions quasi-symétriques et développement des fonctions de Schur
  - Mesures sur  $\mathfrak{S}_n$  correspondant aux  $(q, t)$ -mesures de Plancherel
  
- 3 Résultats asymptotiques
  - Loi des grands nombres
  - Théorème central limite

- 1  $(q, t)$ -mesures de Plancherel
  - Traces de Markov des algèbres d'Hecke
  - $q$ -formule de Frobenius et poids des caractères
  - $(q, t)$ -déformation de la mesure de Plancherel

- 2 Lien avec les permutations aléatoires
  - Descentes d'un tableau standard ou d'une permutation
  - Fonctions quasi-symétriques et développement des fonctions de Schur
  - Mesures sur  $\mathfrak{S}_n$  correspondant aux  $(q, t)$ -mesures de Plancherel

- 3 Résultats asymptotiques
  - Loi des grands nombres
  - Théorème central limite

# Algèbre d'Hecke du groupe symétrique $\mathfrak{S}_n$

On note  $\mathfrak{S}_n$  le groupe des permutations de  $\llbracket 1, n \rrbracket$ . C'est un groupe de Coxeter engendré par les transpositions  $s_i = (i, i + 1)$  et de présentation

$$\left\{ \begin{array}{l} \forall i \in \llbracket 1, n - 1 \rrbracket, (s_i)^2 = 1 ; \\ \forall i \in \llbracket 1, n - 2 \rrbracket, s_i s_{i+1} s_i = s_{i+1} s_i s_{i+1} ; \\ \forall i, j, |j - i| \geq 2 \Rightarrow s_i s_j = s_j s_i. \end{array} \right.$$

# Algèbre d'Hecke du groupe symétrique $\mathfrak{S}_n$

On note  $\mathfrak{S}_n$  le groupe des permutations de  $\llbracket 1, n \rrbracket$ . C'est un groupe de Coxeter engendré par les transpositions  $s_i = (i, i + 1)$  et de présentation

$$\left\{ \begin{array}{l} \forall i \in \llbracket 1, n - 1 \rrbracket, (s_i)^2 = 1 ; \\ \forall i \in \llbracket 1, n - 2 \rrbracket, s_i s_{i+1} s_i = s_{i+1} s_i s_{i+1} ; \\ \forall i, j, |j - i| \geq 2 \Rightarrow s_i s_j = s_j s_i. \end{array} \right.$$

L'**algèbre d'Iwahori-Hecke** de  $\mathfrak{S}_n$  est la  $\mathbb{C}(q)$ -algèbre  $\mathcal{H}(\mathfrak{S}_n)$  engendrée par des éléments  $T_i$  vérifiant

$$\left\{ \begin{array}{l} \forall i \in \llbracket 1, n - 1 \rrbracket, (T_i - q)(T_i + 1) = 0 ; \\ \forall i \in \llbracket 1, n - 2 \rrbracket, T_i T_{i+1} T_i = T_{i+1} T_i T_{i+1} ; \\ \forall i, j, |j - i| \geq 2 \Rightarrow T_i T_j = T_j T_i. \end{array} \right.$$

Une  $\mathbb{C}(q)$ -base de  $\mathcal{H}(\mathfrak{S}_n)$  est constituée des  $T_\omega = T_{i_1} T_{i_2} \cdots T_{i_r}$ , où  $\omega = s_{i_1} s_{i_2} \cdots s_{i_r}$  est une décomposition réduite et  $\omega$  parcourt  $\mathfrak{S}_n$ .

## Structure des algèbres $\mathcal{H}(\mathfrak{S}_n)$

La  $\mathbb{C}(q)$ -algèbre  $\mathcal{H}(\mathfrak{S}_n)$  est semi-simple et a la même théorie des représentations que  $\mathfrak{S}_n$ . Ainsi, ses modules irréductibles sont indexés par les partitions d'entiers de  $\mathfrak{Y}_n$  :

$$\mathcal{H}(\mathfrak{S}_n) = \bigoplus_{\lambda \vdash n} \text{End}_{\mathbb{C}(q)}(V^\lambda).$$

Si  $q$  est non nul et n'est pas une racine non triviale de l'unité, l'algèbre spécialisée  $\mathcal{H}_q(\mathfrak{S}_n)$  garde cette propriété (en tant que  $\mathbb{C}$ -algèbre).

# Structure des algèbres $\mathcal{H}(\mathfrak{S}_n)$

La  $\mathbb{C}(q)$ -algèbre  $\mathcal{H}(\mathfrak{S}_n)$  est semi-simple et a la même théorie des représentations que  $\mathfrak{S}_n$ . Ainsi, ses modules irréductibles sont indexés par les partitions d'entiers de  $\mathfrak{Y}_n$  :

$$\mathcal{H}(\mathfrak{S}_n) = \bigoplus_{\lambda \vdash n} \text{End}_{\mathbb{C}(q)}(V^\lambda).$$

Si  $q$  est non nul et n'est pas une racine non triviale de l'unité, l'algèbre spécialisée  $\mathcal{H}_q(\mathfrak{S}_n)$  garde cette propriété (en tant que  $\mathbb{C}$ -algèbre).

La **dualité de Schur-Weyl** entre les actions de  $GL(m, \mathbb{C})$  et  $\mathfrak{S}_n$  sur  $(\mathbb{C}^m)^{\otimes n}$  peut être étendue aux actions de  $U_q(\mathfrak{gl}(m))$  et de  $\mathcal{H}(\mathfrak{S}_n)$  sur  $(\mathbb{C}(q)^m)^{\otimes n}$  :

$$(\mathbb{C}(q)^m)^{\otimes n} = \bigoplus_{\substack{|\lambda|=n \\ \ell(\lambda) \leq m}} U_{q(\mathfrak{gl}(m))} \{H^\lambda(m)\} \otimes_{\mathbb{C}(q)} \{V^\lambda\}_{\mathcal{H}(\mathfrak{S}_n)}.$$

# Traces de Markov

Si  $\mu = (\mu_1, \dots, \mu_r) \in \mathfrak{Y}_n$ , notons  $T_\mu$  l'élément

$$(T_1 \cdots T_{\mu_1-1})(T_{\mu_1+1} \cdots T_{\mu_1+\mu_2-1}) \cdots (T_{\mu_1+\cdots+\mu_{r-1}+1} \cdots T_{\mu_1+\cdots+\mu_r-1}).$$

Tout élément  $h \in \mathcal{H}(\mathfrak{S}_n)$  est congru modulo  $[\mathcal{H}(\mathfrak{S}_n), \mathcal{H}(\mathfrak{S}_n)]$  à une unique combinaison linéaire d'éléments  $T_\mu$ ,  $\mu \in \mathfrak{Y}_n$ . Une trace sur  $\mathcal{H}(\mathfrak{S}_n)$  est donc entièrement déterminée par la donnée des  $\tau(T_\mu)$ ,  $\mu \in \mathfrak{Y}_n$ .



# Traces de Markov

Si  $\mu = (\mu_1, \dots, \mu_r) \in \mathfrak{Y}_n$ , notons  $T_\mu$  l'élément

$$(T_1 \cdots T_{\mu_1-1})(T_{\mu_1+1} \cdots T_{\mu_1+\mu_2-1}) \cdots (T_{\mu_1+\cdots+\mu_{r-1}+1} \cdots T_{\mu_1+\cdots+\mu_r-1}).$$

Tout élément  $h \in \mathcal{H}(\mathfrak{S}_n)$  est congru modulo  $[\mathcal{H}(\mathfrak{S}_n), \mathcal{H}(\mathfrak{S}_n)]$  à une unique combinaison linéaire d'éléments  $T_\mu$ ,  $\mu \in \mathfrak{Y}_n$ . Une trace sur  $\mathcal{H}(\mathfrak{S}_n)$  est donc entièrement déterminée par la donnée des  $\tau(T_\mu)$ ,  $\mu \in \mathfrak{Y}_n$ .

## Définition (Trace de Markov)

Une **trace de Markov** sur l'algèbre  $\mathcal{H}(\mathfrak{S}_n)$  est une trace normalisée vérifiant

$$\forall k \geq 1, \forall a \in \mathcal{H}(\mathfrak{S}_k), \tau(T_k a) = z_k \tau(a).$$

# Traces de Markov

Si  $\mu = (\mu_1, \dots, \mu_r) \in \mathfrak{Y}_n$ , notons  $T_\mu$  l'élément

$$(T_1 \cdots T_{\mu_1-1})(T_{\mu_1+1} \cdots T_{\mu_1+\mu_2-1}) \cdots (T_{\mu_1+\cdots+\mu_{r-1}+1} \cdots T_{\mu_1+\cdots+\mu_r-1}).$$

Tout élément  $h \in \mathcal{H}(\mathfrak{S}_n)$  est congru modulo  $[\mathcal{H}(\mathfrak{S}_n), \mathcal{H}(\mathfrak{S}_n)]$  à une unique combinaison linéaire d'éléments  $T_\mu$ ,  $\mu \in \mathfrak{Y}_n$ . Une trace sur  $\mathcal{H}(\mathfrak{S}_n)$  est donc entièrement déterminée par la donnée des  $\tau(T_\mu)$ ,  $\mu \in \mathfrak{Y}_n$ .

## Définition (Trace de Markov)

Une **trace de Markov** sur l'algèbre  $\mathcal{H}(\mathfrak{S}_n)$  est une trace normalisée vérifiant

$$\forall k \geq 1, \forall a \in \mathcal{H}(\mathfrak{S}_k), \tau(T_k a) = z_k \tau(a).$$

Comme les  $T_k$  sont tous conjugués,  $\tau(T_k) = z_k = z$  ne dépend en fait pas de  $k$ . On peut montrer que pour tout paramètre  $z$ , il existe une unique trace de Markov correspondante  $\tau_z$ , avec  $\tau_z(T_\mu) = z^{|\mu| - \ell(\mu)}$ .

## $q$ -formule de Frobenius

En utilisant la dualité de Schur-Weyl, on peut encoder les valeurs des caractères irréductibles de  $\mathfrak{S}_n$  dans l'algèbre **Sym** des **fonctions symétriques** :

$$\forall \mu \in \mathfrak{Y}_n, \quad p_\mu(X) = \sum_{\lambda \vdash n} \zeta^\lambda(\sigma_\mu) s_\lambda(X).$$

## $q$ -formule de Frobenius

En utilisant la dualité de Schur-Weyl, on peut encoder les valeurs des caractères irréductibles de  $\mathfrak{S}_n$  dans l'algèbre **Sym** des **fonctions symétriques** :

$$\forall \mu \in \mathfrak{Y}_n, \quad p_\mu(X) = \sum_{\lambda \vdash n} \zeta^\lambda(\sigma_\mu) s_\lambda(X).$$

Avec les notations de  $\lambda$ -anneaux, notons  $q_\mu(X; q) = \frac{h_\mu(qX - X)}{(q-1)^{\ell(\mu)}}$  ; c'est un élément de **Sym**  $\otimes_{\mathbb{C}} \mathbb{C}(q)$ . En utilisant la version quantique de la dualité de Schur-Weyl :

### Théorème (Ram)

$$\forall \mu \in \mathfrak{Y}_n, \quad q_\mu(X; q) = \sum_{\lambda \vdash n} \zeta_q^\lambda(T_\mu) s_\lambda(X).$$

## $(q, z)$ -spécialisation de l'algèbre **Sym**

Soit  $X_{q,z} = \frac{[1-q+z]-[z]}{1-[q]}$  l'alphabet formel dont les fonctions symétriques sont données par les spécialisations

$$p_k(X_{q,z}) = \frac{(1-q+z)^k - z^k}{1-q^k}.$$

## $(q, z)$ -spécialisation de l'algèbre **Sym**

Soit  $X_{q,z} = \frac{[1-q+z]-[z]}{1-[q]}$  l'alphabet formel dont les fonctions symétriques sont données par les spécialisations

$$p_k(X_{q,z}) = \frac{(1-q+z)^k - z^k}{1-q^k}.$$

Si  $Y_{q,z} = qX_{q,z} - X_{q,z}$ , on remarque que

$$P(u) = \sum_{k=1}^{\infty} \frac{p_k(Y_{q,z})}{k} u^k = \log \frac{1-u(1-q+z)}{1-uz};$$

$$H(u) = \sum_{k=0}^{\infty} h_k(Y_{q,z}) u^k = \exp P(u) = \frac{1-u(1-q+z)}{1-uz};$$

donc  $h_k(Y_{q,z}) = (q-1)z^{k-1}$  et  $q_{\mu}(X_{q,z}; q) = z^{|\mu|-\ell(\mu)} = \tau_z(T_{\mu})$ .

## Poids des caractères irréductibles pour la trace $\tau_z$

On en déduit la décomposition de  $\tau_z$  dans la base des caractères irréductibles :

$$\tau_z(T_\mu) = q_\mu(X_{q,z}; q) = \sum_{\lambda \vdash n} \zeta_q^\lambda(T_\mu) s_\lambda(X_{q,z}) \Rightarrow \tau_z = \sum_{\lambda \vdash n} s_\lambda(X_{q,z}) \zeta_q^\lambda.$$

## Poids des caractères irréductibles pour la trace $\tau_z$

On en déduit la décomposition de  $\tau_z$  dans la base des caractères irréductibles :

$$\tau_z(T_\mu) = q_\mu(X_{q,z}; q) = \sum_{\lambda \vdash n} \zeta_q^\lambda(T_\mu) s_\lambda(X_{q,z}) \Rightarrow \tau_z = \sum_{\lambda \vdash n} s_\lambda(X_{q,z}) \zeta_q^\lambda.$$

Il existe une formule des équerres pour la spécialisation  $s_\lambda(X_{q,z})$  des fonctions de Schur :

$$s_\lambda \left( \frac{[1 - q + z] - [z]}{1 - [q]} \right) = q^{b(\lambda)} \prod_{\square \in \lambda} \frac{(1 - q) + z(1 - q^{c(\square)})}{1 - q^{h(\square)}},$$

où  $b(\lambda) = \sum_{i=1}^{\ell(\lambda)} (i-1)\lambda_i$ ,  $h(\square)$  est la longueur d'équerre de la case  $\square$  et  $c(\square)$  est son contenu.



## $(q, t)$ -mesure de Plancherel

Posons  $z = -(1 - q)(1 - t)$ . Le poids  $s_\lambda(X_{q,z})$  s'écrit alors

$$s_\lambda(X_{q,z}) = q^{b(\lambda)} \left( \prod_{\square \in \lambda} \frac{1 - q}{1 - q^{h(\square)}} \right) \left( \prod_{\square \in \lambda} t + (1 - t)q^{c(\square)} \right),$$

et si  $q$  et  $t$  sont dans  $]0, 1[$ , ce poids reste positif pour toute partition  $\lambda$ .

## $(q, t)$ -mesure de Plancherel

Posons  $z = -(1 - q)(1 - t)$ . Le poids  $s_\lambda(X_{q,z})$  s'écrit alors

$$s_\lambda(X_{q,z}) = q^{b(\lambda)} \left( \prod_{\square \in \lambda} \frac{1 - q}{1 - q^{h(\square)}} \right) \left( \prod_{\square \in \lambda} t + (1 - t)q^{c(\square)} \right),$$

et si  $q$  et  $t$  sont dans  $]0, 1[$ , ce poids reste positif pour toute partition  $\lambda$ .

### Définition (( $q, t$ )-mesure de Plancherel)

On appelle  **$(q, t)$ -mesure de Plancherel** la mesure spectrale portant sur  $\mathfrak{Y}_n$  et correspondant à la décomposition de la trace  $\tau_z$  de l'algèbre  $\mathcal{H}_q(\mathfrak{S}_n)$ , avec  $q, t \in ]0, 1[$ . C'est une vraie mesure de probabilité.

$$\mathbb{P}_{n,q,t}[\lambda] = (\dim \lambda) (1 - q)^n s_\lambda \left( \frac{[t] - [t - 1]}{1 - [q]} \right).$$

## Deux cas particuliers

Si  $t = 1$ , on obtient la **q-mesure de Plancherel**, qui correspond à la décomposition de la trace régulière de l'algèbre d'Hecke, ou, par dualité d'Iwahori, à la décomposition du  $GL(n, \mathbb{F}_q)$ -module  $\mathbb{C}[GL(n, \mathbb{F}_q)/B(n, \mathbb{F}_q)]$  :

$$\chi^{\mathbb{C}[GL(n, \mathbb{F}_q)/B(n, \mathbb{F}_q)]} = \sum_{\lambda \vdash n} \mathbb{P}_{n,q}[\lambda] U_q^\lambda,$$

où  $U_q^\lambda$  désigne le caractère irréductible unipotent de type  $\lambda$ .

## Deux cas particuliers

Si  $t = 1$ , on obtient la **q-mesure de Plancherel**, qui correspond à la décomposition de la trace régulière de l'algèbre d'Hecke, ou, par dualité d'Iwahori, à la décomposition du  $GL(n, \mathbb{F}_q)$ -module  $\mathbb{C}[GL(n, \mathbb{F}_q)/B(n, \mathbb{F}_q)]$  :

$$\chi^{\mathbb{C}[GL(n, \mathbb{F}_q)/B(n, \mathbb{F}_q)]} = \sum_{\lambda \vdash n} \mathbb{P}_{n,q}[\lambda] U_q^\lambda,$$

où  $U_q^\lambda$  désigne le caractère irréductible unipotent de type  $\lambda$ .

Si  $q = 1$ , on obtient la **mesure de Plancherel**, qui correspond à la décomposition de la trace régulière de l'algèbre du groupe symétrique :

$$\tau(\sigma) = \begin{cases} 1 & \text{si } \sigma = 1, \\ 0 & \text{sinon.} \end{cases}$$

- 1  $(q, t)$ -mesures de Plancherel
  - Traces de Markov des algèbres d'Hecke
  - $q$ -formule de Frobenius et poids des caractères
  - $(q, t)$ -déformation de la mesure de Plancherel

- 2 Lien avec les permutations aléatoires
  - Descentes d'un tableau standard ou d'une permutation
  - Fonctions quasi-symétriques et développement des fonctions de Schur
  - Mesures sur  $\mathfrak{S}_n$  correspondant aux  $(q, t)$ -mesures de Plancherel

- 3 Résultats asymptotiques
  - Loi des grands nombres
  - Théorème central limite

# Tableaux standards et leurs descentes

On souhaite donner une interprétation combinatoire des  $(q, t)$ -mesures de Plancherel. Si  $\lambda$  est une partition, on la représente par son diagramme de Young, et on appelle **tableau standard** de forme  $\lambda$  une numérotation croissante suivant les lignes et les colonnes des cases de  $\lambda$ .

# Tableaux standards et leurs descentes

On souhaite donner une interprétation combinatoire des  $(q, t)$ -mesures de Plancherel. Si  $\lambda$  est une partition, on la représente par son diagramme de Young, et on appelle **tableau standard** de forme  $\lambda$  une numérotation croissante suivant les lignes et les colonnes des cases de  $\lambda$ .

Exemple :

6		
5	7	
3	4	9
1	2	8

est un tableau standard de forme  $(3, 3, 2, 1)$ .

# Tableaux standards et leurs descentes

On souhaite donner une interprétation combinatoire des  $(q, t)$ -mesures de Plancherel. Si  $\lambda$  est une partition, on la représente par son diagramme de Young, et on appelle **tableau standard** de forme  $\lambda$  une numérotation croissante suivant les lignes et les colonnes des cases de  $\lambda$ .

Exemple :

6		
5	7	
3	4	9
1	2	8

est un tableau standard de forme  $(3, 3, 2, 1)$ .  
 $D(T) = \{2, 4, 5, 8\}$  ;  $\text{maj}(T) = 19$ .

## Définition (Descentes d'un tableau standard)

Les **descentes** d'un tableau standard  $T$  sont les indices  $i \in \llbracket 1, n-1 \rrbracket$  tels que  $i+1$  apparaît dans une ligne située strictement au-dessus de la ligne contenant  $i$ .  
L'**indice majeur** d'un tableau est la somme de ses descentes.



# Descentes d'une permutation ou d'une composition

On a également une notion de descentes :

- pour une **composition**  $c = (c_1, \dots, c_r)$  : il s'agit des entiers  $c_1, c_1 + c_2, \dots, c_1 + \dots + c_{r-1}$ , et ils déterminent entièrement une composition de taille  $n$ .

# Descentes d'une permutation ou d'une composition

On a également une notion de descentes :

- pour une **composition**  $c = (c_1, \dots, c_r)$  : il s'agit des entiers  $c_1, c_1 + c_2, \dots, c_1 + \dots + c_{r-1}$ , et ils déterminent entièrement une composition de taille  $n$ .
- pour une **permutation**  $\sigma$  : il s'agit des entiers  $i$  tels que  $\sigma(i+1) < \sigma(i)$ .

# Descentes d'une permutation ou d'une composition

On a également une notion de descentes :

- pour une **composition**  $c = (c_1, \dots, c_r)$  : il s'agit des entiers  $c_1, c_1 + c_2, \dots, c_1 + \dots + c_{r-1}$ , et ils déterminent entièrement une composition de taille  $n$ .
- pour une **permutation**  $\sigma$  : il s'agit des entiers  $i$  tels que  $\sigma(i+1) < \sigma(i)$ .

Exemple : les descentes de la composition  $(4, 2, 2, 1, 3)$  sont  $\{4, 6, 8, 9\}$ , et les descentes de la permutation  $27351684$  sont  $\{2, 4, 7\}$ .

# Descentes d'une permutation ou d'une composition

On a également une notion de descentes :

- pour une **composition**  $c = (c_1, \dots, c_r)$  : il s'agit des entiers  $c_1, c_1 + c_2, \dots, c_1 + \dots + c_{r-1}$ , et ils déterminent entièrement une composition de taille  $n$ .
- pour une **permutation**  $\sigma$  : il s'agit des entiers  $i$  tels que  $\sigma(i+1) < \sigma(i)$ .

Exemple : les descentes de la composition  $(4, 2, 2, 1, 3)$  sont  $\{4, 6, 8, 9\}$ , et les descentes de la permutation  $27351684$  sont  $\{2, 4, 7\}$ .

## Proposition (Descentes et algorithme RSK)

*Si  $\sigma$  est une permutation et si  $P(\sigma)$  et  $Q(\sigma)$  sont les deux tableaux standards associés à  $\sigma$  par l'algorithme RSK, alors  $D(\sigma) = D(Q(\sigma))$ .*

Si  $T$  est un tableau standard, on notera  $c(T)$  l'unique composition de taille  $n$  telle que  $D(T) = D(c(T))$ . On définit de même  $c(\sigma)$  pour une permutation  $\sigma$ .

# Algèbre des fonctions quasi-symétriques

On rappelle qu'une série formelle  $f$  de degré borné en une infinité de variables  $x_1, x_2, \dots$  est une fonction **symétrique** si, pour tous indices  $i_1 \neq i_2 \neq \dots \neq i_r$  et  $j_1 \neq j_2 \neq \dots \neq j_r$ ,

$$\forall (a_1, \dots, a_r) \in \mathbb{N}^r, [x_{i_1}^{a_1} \cdots x_{i_r}^{a_r}](f) = [x_{j_1}^{a_1} \cdots x_{j_r}^{a_r}](f).$$

# Algèbre des fonctions quasi-symétriques

On rappelle qu'une série formelle  $f$  de degré borné en une infinité de variables  $x_1, x_2, \dots$  est une fonction **symétrique** si, pour tous indices  $i_1 \neq i_2 \neq \dots \neq i_r$  et  $j_1 \neq j_2 \neq \dots \neq j_r$ ,

$$\forall (a_1, \dots, a_r) \in \mathbb{N}^r, [x_{i_1}^{a_1} \dots x_{i_r}^{a_r}](f) = [x_{j_1}^{a_1} \dots x_{j_r}^{a_r}](f).$$

## Définition (Fonction quasi-symétrique)

On parle de fonction **quasi-symétrique** si l'on a seulement, pour tous indices  $i_1 < i_2 < \dots < i_r$  et  $j_1 < j_2 < \dots < j_r$ ,

$$\forall (a_1, \dots, a_r) \in \mathbb{N}^r, [x_{i_1}^{a_1} \dots x_{i_r}^{a_r}](f) = [x_{j_1}^{a_1} \dots x_{j_r}^{a_r}](f).$$

Exemple :  $M_{21} = \sum_{i < j} x_i^2 x_j$  est dans l'algèbre **QSym** des fonctions quasi-symétriques.

# Fonctions quasi-symétriques monomiales et fondamentales

Une base linéaire de l'algèbre **QSym** est constituée des **fonctions monomiales**

$$M_{\alpha=(\alpha_1, \dots, \alpha_r)} = \sum_{i_1 < i_2 < \dots < i_r} X_{i_1}^{\alpha_1} \cdots X_{i_r}^{\alpha_r}$$

indexées par les compositions.

# Fonctions quasi-symétriques monomiales et fondamentales

Une base linéaire de l'algèbre **QSym** est constituée des **fonctions monomiales**

$$M_{\alpha=(\alpha_1, \dots, \alpha_r)} = \sum_{i_1 < i_2 < \dots < i_r} X_{i_1}^{\alpha_1} \cdots X_{i_r}^{\alpha_r}$$

indexées par les compositions.

Une autre base est constituée des **fonctions fondamentales**

$$F_{\alpha} = \sum_{\substack{i_1 \leq i_2 \leq \dots \leq i_n \\ i_j < i_{j+1} \text{ si } j \in D(\alpha)}} X_{i_1} X_{i_2} \cdots X_{i_n},$$

et les deux bases sont reliées par les formules d'inversion de Möbius :

$$F_{\alpha} = \sum_{\alpha \preceq \beta} M_{\beta} \quad ; \quad M_{\alpha} = \sum_{\alpha \preceq \beta} (-1)^{\ell(\beta) - \ell(\alpha)} F_{\beta}.$$



# Développement des fonctions de Schur

## Théorème (Stanley)

Pour toute partition (gauche)  $\lambda$ ,

$$s_\lambda = \sum_{T \in \text{Std}(\lambda)} F_c(T).$$

# Développement des fonctions de Schur

## Théorème (Stanley)

Pour toute partition (gauche)  $\lambda$ ,

$$s_\lambda = \sum_{T \in \text{Std}(\lambda)} F_{c(T)}.$$

On en déduit un développement combinatoire de la  $(q, t)$ -spécialisation de la fonction de Schur :

$$s_\lambda \left( \frac{[t] - [t-1]}{1 - [q]} \right) = \sum_{T \in \text{Std}(\lambda)} F_{c(T)} \left( \frac{[t] - [t-1]}{1 - [q]} \right).$$

# Développement des fonctions de Schur

## Théorème (Stanley)

Pour toute partition (gauche)  $\lambda$ ,

$$s_\lambda = \sum_{T \in \text{Std}(\lambda)} F_{c(T)}.$$

On en déduit un développement combinatoire de la  $(q, t)$ -spécialisation de la fonction de Schur :

$$s_\lambda \left( \frac{[t] - [t-1]}{1 - [q]} \right) = \sum_{T \in \text{Std}(\lambda)} F_{c(T)} \left( \frac{[t] - [t-1]}{1 - [q]} \right).$$

Lorsque  $t = 1$ , la fonction  $F_\alpha \left( \frac{1}{1 - [q]} \right)$  se calcule aisément :

$$F_\alpha(1, q, q^2, \dots) = \frac{q^{\sum_{d \in \mathcal{D}(\alpha)} n-d}}{(1-q)(1-q^2) \cdots (1-q^n)} = \frac{q^{\text{comaj}(\alpha)}}{(1-q)(1-q^2) \cdots (1-q^n)}.$$

## Utilisation de la structure de Hopf de **Sym** et **QSym**

Dans le cas général, pour calculer  $F_\alpha\left(\frac{[t]-[t-1]}{1-[q]}\right)$ , on utilise la structure d'**algèbre de Hopf** sur **Sym** et **QSym** :

$$f(X + Y) = \Delta f(X, Y) \quad ; \quad f(X - Y) = [(1 \otimes \delta) \circ \Delta] f(X, -Y).$$

## Utilisation de la structure de Hopf de **Sym** et **QSym**

Dans le cas général, pour calculer  $F_\alpha\left(\frac{[t]-[t-1]}{1-[q]}\right)$ , on utilise la structure d'**algèbre de Hopf** sur **Sym** et **QSym** :

$$f(X + Y) = \Delta f(X, Y) \quad ; \quad f(X - Y) = [(1 \otimes \delta) \circ \Delta] f(X, -Y).$$

Pour toute composition  $\alpha$  et tout entier  $i \in \llbracket 0, n \rrbracket$ , notons  $\alpha_{<i}$  (resp.,  $\alpha_{>i}$ ) la composition de taille  $i$  (resp., de taille  $n - i$ ) telle que

$$D(\alpha_{<i}) = D(\alpha) \cap \llbracket 1, i - 1 \rrbracket \quad ; \quad D(\alpha_{>i}) = (D(\alpha) \cap \llbracket i + 1, n - 1 \rrbracket) - i.$$

D'autre part, si  $\alpha$  est une composition, sa conjuguée  $\bar{\alpha}$  est définie par  $D(\bar{\alpha}) = D(\overleftarrow{\alpha})^c = \llbracket 1, n - 1 \rrbracket \setminus \{\alpha_r, \alpha_r + \alpha_{r-1}, \dots, \alpha_r + \dots + \alpha_2\}$ .

# Utilisation de la structure de Hopf de **Sym** et **QSym**

Dans le cas général, pour calculer  $F_\alpha\left(\frac{[t]-[t-1]}{1-[q]}\right)$ , on utilise la structure d'**algèbre de Hopf** sur **Sym** et **QSym** :

$$f(X + Y) = \Delta f(X, Y) \quad ; \quad f(X - Y) = [(1 \otimes \delta) \circ \Delta] f(X, -Y).$$

Pour toute composition  $\alpha$  et tout entier  $i \in \llbracket 0, n \rrbracket$ , notons  $\alpha_{<i}$  (resp.,  $\alpha_{>i}$ ) la composition de taille  $i$  (resp., de taille  $n - i$ ) telle que

$$D(\alpha_{<i}) = D(\alpha) \cap \llbracket 1, i - 1 \rrbracket \quad ; \quad D(\alpha_{>i}) = (D(\alpha) \cap \llbracket i + 1, n - 1 \rrbracket) - i.$$

D'autre part, si  $\alpha$  est une composition, sa conjuguée  $\bar{\alpha}$  est définie par  $D(\bar{\alpha}) = D(\overleftarrow{\alpha})^c = \llbracket 1, n - 1 \rrbracket \setminus \{\alpha_r, \alpha_r + \alpha_{r-1}, \dots, \alpha_r + \dots + \alpha_2\}$ .

**Proposition (Coproduct et antipode des fonctions fondamentales)**

$$\Delta(F_\alpha) = \sum_{i=0}^n F_{\alpha_{<i}} \otimes F_{\alpha_{>i}} \quad ; \quad \delta(F_\alpha) = F_{\bar{\alpha}}.$$

# Interprétation combinatoire des poids des $q$ -caractères

Pour toute composition  $\alpha$  de taille  $n$ , notons

$$w_{q,t}(\alpha) = \sum_{i=0}^n \frac{t^i (1-t)^{n-i}}{\{i!\}_q \{n-i!\}_q} q^{\text{comaj}(\alpha_{<i}) + \text{comaj}(\bar{\alpha}_{>i})}.$$

# Interprétation combinatoire des poids des $q$ -caractères

Pour toute composition  $\alpha$  de taille  $n$ , notons

$$w_{q,t}(\alpha) = \sum_{i=0}^n \frac{t^i (1-t)^{n-i}}{\{i!\}_q \{n-i!\}_q} q^{\text{comaj}(\alpha_{<i}) + \text{comaj}(\bar{\alpha}_{>i})}.$$

## Théorème (M., 2011)

Pour toute partition  $\lambda \in \mathfrak{P}_n$ ,

$$\mathbb{P}_{n,q,t}[\lambda] = \sum_{P, Q \in \text{Std}(\lambda)} w_{q,t}(c(Q)).$$



## $q$ -mesures et $(q, t)$ -mesures sur les permutations

Notons  $\omega_0$  la permutation de taille  $n$  de longueur maximale, et pour tout mot  $m$  de longueur  $i$ ,

$$\mathbb{Q}_{i,q}[m] = \frac{q^{\sum_{d \in \mathcal{D}(m)} i-d}}{\{i!\}_q}.$$

Notons que  $\mathbb{Q}_{n,q}$  est une mesure de probabilité sur  $\mathfrak{S}_n$ .

## $q$ -mesures et $(q, t)$ -mesures sur les permutations

Notons  $\omega_0$  la permutation de taille  $n$  de longueur maximale, et pour tout mot  $m$  de longueur  $i$ ,

$$\mathbb{Q}_{i,q}[m] = \frac{q^{\sum_{d \in \mathcal{D}(m)} i-d}}{\{i!\}_q}.$$

Notons que  $\mathbb{Q}_{n,q}$  est une mesure de probabilité sur  $\mathfrak{S}_n$ .

### Théorème (M., 2011)

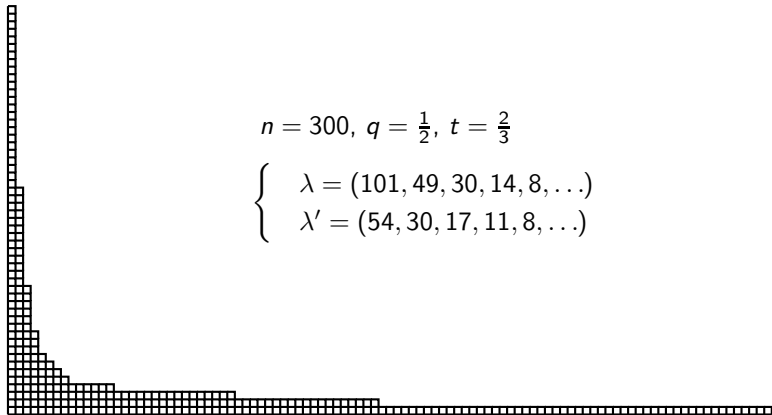
Soit  $\mathbb{Q}_{n,q,t}$  le poids sur  $\mathfrak{S}_n$  défini par

$$\mathbb{Q}_{n,q,t}[\sigma] = \sum_{i=0}^n t^i (1-t)^{n-i} \mathbb{Q}_{i,q}[\sigma_{[1,i]}] \mathbb{Q}_{n-i,q}[(\sigma\omega_0)_{[1,n-i]}].$$

C'est une mesure de probabilité sur  $\mathfrak{S}_n$ , et l'image de  $\mathbb{Q}_{n,q,t}$  par l'application RSK est la  $(q, t)$ -mesure de Plancherel.

- 1  $(q, t)$ -mesures de Plancherel
  - Traces de Markov des algèbres d'Hecke
  - $q$ -formule de Frobenius et poids des caractères
  - $(q, t)$ -déformation de la mesure de Plancherel
  
- 2 Lien avec les permutations aléatoires
  - Descentes d'un tableau standard ou d'une permutation
  - Fonctions quasi-symétriques et développement des fonctions de Schur
  - Mesures sur  $\mathfrak{S}_n$  correspondant aux  $(q, t)$ -mesures de Plancherel
  
- 3 Résultats asymptotiques
  - Loi des grands nombres
  - Théorème central limite

# Grande partition aléatoire choisie suivant $\mathbb{P}_{n,q,t}$



# Observables de diagrammes

Pour comprendre le comportement des partitions aléatoires choisies suivant  $\mathbb{P}_{n,q,t}$ , on étudie les espérances de « fonctions polynomiales » des diagrammes de Young.

## Observables de diagrammes

Pour comprendre le comportement des partitions aléatoires choisies suivant  $\mathbb{P}_{n,q,t}$ , on étudie les espérances de « fonctions polynomiales » des diagrammes de Young.

Si  $\mu$  est une partition, on pose :

$$\Sigma_{\mu}(\lambda) = \begin{cases} n(n-1) \cdots (n - |\mu| + 1) \chi^{\lambda}(\mu \sqcup 1^{n-|\mu|}) & \text{si } n = |\lambda| \geq |\mu|, \\ 0 & \text{sinon.} \end{cases}$$

Les fonctions  $\Sigma_{\mu}$  engendrent linéairement une algèbre commutative  $\mathcal{O}$  graduée par  $\deg \Sigma_{\mu} = |\mu|$ ; c'est l'algèbre des **observables de diagrammes**.

## Observables de diagrammes

Pour comprendre le comportement des partitions aléatoires choisies suivant  $\mathbb{P}_{n,q,t}$ , on étudie les espérances de « fonctions polynomiales » des diagrammes de Young.

Si  $\mu$  est une partition, on pose :

$$\Sigma_{\mu}(\lambda) = \begin{cases} n(n-1) \cdots (n - |\mu| + 1) \chi^{\lambda}(\mu \sqcup 1^{n-|\mu|}) & \text{si } n = |\lambda| \geq |\mu|, \\ 0 & \text{sinon.} \end{cases}$$

Les fonctions  $\Sigma_{\mu}$  engendrent linéairement une algèbre commutative  $\mathcal{O}$  graduée par  $\deg \Sigma_{\mu} = |\mu|$ ; c'est l'algèbre des **observables de diagrammes**.

On calcule les espérances de ces variables aléatoires par la formule de Frobenius :

$$\mathbb{E}_{n,q,t}[\Sigma_{\mu}] = n^{\downarrow|\mu|} \sum_{\lambda \vdash n} s_{\lambda}(X_{q,z}) \zeta^{\lambda}(\mu 1^{n-|\mu|}) = n^{\downarrow|\mu|} p_{\mu}(X_{q,z}).$$

# Coordonnées et moments de Frobenius

Si  $\lambda$  est une partition, ses **coordonnées de Frobenius** sont les deux suites de demi-entiers

$$A = \left( \lambda_1 - \frac{1}{2}, \lambda_2 - \frac{3}{2}, \dots, \lambda_d - \frac{2d+1}{2} \right);$$
$$B = \left( \lambda'_1 - \frac{1}{2}, \lambda'_2 - \frac{3}{2}, \dots, \lambda'_d - \frac{2d+1}{2} \right).$$



# Coordonnées et moments de Frobenius

Si  $\lambda$  est une partition, ses **coordonnées de Frobenius** sont les deux suites de demi-entiers

$$A = \left( \lambda_1 - \frac{1}{2}, \lambda_2 - \frac{3}{2}, \dots, \lambda_d - \frac{2d+1}{2} \right);$$
$$B = \left( \lambda'_1 - \frac{1}{2}, \lambda'_2 - \frac{3}{2}, \dots, \lambda'_d - \frac{2d+1}{2} \right).$$

Les **moments de Frobenius** sont les fonctions des diagrammes définies par :

$$p_k(\lambda) = p_k(A - (-B)) = \sum_{i=1}^d a_i^k + (-1)^{k-1} \sum_{i=1}^d b_i^k.$$

Les  $p_\mu$  appartiennent à la même algèbre  $\mathcal{O}$ , avec  $\deg p_\mu = |\mu|$  et  $p_\mu = \Sigma_\mu + \dots$ .  
Par conséquent,  $\mathbb{E}_{n,q,t}[p_\mu] \simeq \mathbb{E}_{n,q,t}[\Sigma_\mu] \simeq n^{|\mu|} p_\mu(X_{q,z})$  pour tout  $\mu$ .

# Loi des grands nombres

Comme les espérances des  $\Sigma_\mu$  ou des  $p_\mu$  ont la propriété de factorisation asymptotique, par l'inégalité de Bienaymé-Chebyshev :

## Proposition

$$\frac{\Sigma_\mu(\lambda)}{n^{|\mu|}} \text{ ou } \frac{p_\mu(\lambda)}{n^{|\mu|}} \xrightarrow{\mathbb{P}_{n,q,t}} p_\mu(X_{q,z}) = \prod_{i=1}^{\ell(\mu)} \frac{(1-q)^{\mu_i} (t^{\mu_i} - (t-1)^{\mu_i})}{1-q^{\mu_i}}.$$

# Loi des grands nombres

Comme les espérances des  $\Sigma_\mu$  ou des  $p_\mu$  ont la propriété de factorisation asymptotique, par l'inégalité de Bienaymé-Chebyshev :

## Proposition

$$\frac{\Sigma_\mu(\lambda)}{n^{|\mu|}} \text{ ou } \frac{p_\mu(\lambda)}{n^{|\mu|}} \xrightarrow{\mathbb{P}_{n,q,t}} p_\mu(X_{q,z}) = \prod_{i=1}^{\ell(\mu)} \frac{(1-q)^{\mu_i} (t^{\mu_i} - (t-1)^{\mu_i})}{1 - q^{\mu_i}}.$$

D'un point de vue géométrique, ce résultat se traduit par :

## Théorème (M., 2011)

$$\forall i \geq 1, \frac{\lambda_i}{n} \xrightarrow{\mathbb{P}_{n,q,t}} t(1-q)q^{i-1} \quad ; \quad \forall j \geq 1, \frac{\lambda'_j}{n} \xrightarrow{\mathbb{P}_{n,q,t}} (1-t)(1-q)q^{j-1}.$$

# Théorème central limite

En raffinant la technique des moments d'observables de diagrammes (Śniady), on peut de même établir un théorème central limite. Pour  $i, j \geq 1$ , posons

$$X_i = \sqrt{n} \left( \frac{\lambda_i}{n} - t(1-q)q^{i-1} \right) \quad ; \quad Y_j = \sqrt{n} \left( \frac{\lambda'_j}{n} - (1-t)(1-q)q^{j-1} \right).$$

Il s'agit des déviations renormalisées des lignes et des colonnes de  $\lambda$ .

# Théorème central limite

En raffinant la technique des moments d'observables de diagrammes (Śniady), on peut de même établir un théorème central limite. Pour  $i, j \geq 1$ , posons

$$X_i = \sqrt{n} \left( \frac{\lambda_i}{n} - t(1-q)q^{i-1} \right) \quad ; \quad Y_j = \sqrt{n} \left( \frac{\lambda'_j}{n} - (1-t)(1-q)q^{j-1} \right).$$

Il s'agit des déviations renormalisées des lignes et des colonnes de  $\lambda$ .

## Théorème (M., 2011)

*Le vecteur  $(X_1, X_2, \dots, Y_1, Y_2, \dots)$  converge en lois fini-dimensionnelles vers un vecteur gaussien centré  $(X_{1,\infty}, X_{2,\infty}, \dots, Y_{1,\infty}, Y_{2,\infty}, \dots)$  dont les covariances s'écrivent :*

$$\text{cov}(X_{i,\infty}, X_{j,\infty}) = \delta_{ij}t(1-q)q^{i-1} - t^2(1-q)^2q^{i+j-2};$$

$$\text{cov}(Y_{i,\infty}, Y_{j,\infty}) = \delta_{ij}(1-t)(1-q)q^{i-1} - (1-t)^2(1-q)^2q^{i+j-2};$$

$$\text{cov}(X_{i,\infty}, Y_{j,\infty}) = -t(1-t)(1-q)^2q^{i+j-2}.$$

Ces résultats peuvent être généralisés dans deux directions distinctes :

- On peut en réalité énoncer une loi des grands nombres et un théorème central limite pour n'importe quel système de mesures de probabilité sur  $\mathfrak{Y} = \bigsqcup_{n \in \mathbb{N}} \mathfrak{Y}_n$  provenant d'un caractère du groupe symétrique infini, et correspondant à deux alphabets (réels positifs)  $A$  et  $B$  tels que  $p_1(A + B) = 1$ . Ici, on avait

$$A = \frac{[(1 - q)t]}{1 - [q]} \quad ; \quad B = \frac{[(1 - q)(1 - t)]}{1 - [q]}.$$

Ces résultats peuvent être généralisés dans deux directions distinctes :

- On peut en réalité énoncer une loi des grands nombres et un théorème central limite pour n'importe quel système de mesures de probabilité sur  $\mathfrak{Y} = \bigsqcup_{n \in \mathbb{N}} \mathfrak{Y}_n$  provenant d'un caractère du groupe symétrique infini, et correspondant à deux alphabets (réels positifs)  $A$  et  $B$  tels que  $p_1(A + B) = 1$ . Ici, on avait

$$A = \frac{[(1-q)t]}{1-[q]} \quad ; \quad B = \frac{[(1-q)(1-t)]}{1-[q]}.$$

- Il existe une notion de trace de Markov pour les algèbres d'Hecke cyclotomiques  $\mathcal{H}(\mathbb{Z}/d\mathbb{Z} \wr \mathfrak{S}_n)$  (**algèbres d'Ariki-Koike**), et une formule pour les poids mettant en jeu des fonctions de Schur. L'interprétation combinatoire des mesures correspondantes, et l'asymptotique des multipartitions sous ces mesures est encore inconnue.